

VŠB - Technická univerzita Ostrava
Fakulta elektrotechniky a informatiky
Katedra aplikované matematiky

Metoda homogenizace pro kompozitní materiály

Homogenization of composite materials

2012

Petr Haškovec

VŠB - Technická univerzita Ostrava
Fakulta elektrotechniky a informatiky
Katedra aplikované matematiky

Zadání bakalářské práce

Student:

Petr Haškovec

Studijní program:

B2647 Informační a komunikační technologie

Studijní obor:

1103R031 Výpočetní matematika

Téma:

Metoda homogenizace pro kompozitní materiály
Homogenization of Composite Materials

Zásady pro vypracování:

1. Úvod do matematické teorie homogenizace.
2. Asymptotická expanze.
3. Numerické experimenty a ověření.

Seznam doporučené odborné literatury:

Doina Cioranescu, Patrizia Donato: An Introduction to Homogenization (Oxford Lecture Series in Mathematics and Its Applications, 17)

Formální náležitosti a rozsah bakalářské práce stanoví pokyny pro vypracování zveřejněné na webových stránkách fakulty.

Vedoucí bakalářské práce: **doc. RNDr. Jiří Bouchala, Ph.D.**

Datum zadání: 18.11.2011

Datum odevzdání: 04.05.2012

Jiří Bouchala

doc. RNDr. Jiří Bouchala, Ph.D.
vedoucí katedry



V. Snášel
prof. RNDr. Václav Snášel, CSc.
děkan fakulty

Prohlašuji, že jsem tuto bakalářskou práci vypracoval samostatně. Uvedl jsem všechny literární prameny a publikace, ze kterých jsem čerpal.

V Ostravě 5. května

.....*Petr Haskovec*.....

Rád bych zde poděkoval především vedoucímu mé bakalářské práce Doc. RNDr. Jiřímu Bouchalovi, Ph.D. za poskytnutí veškerých podkladů společně, s opakovaným vysvětlováním problematiky. Dále děkuji Ing. Alexandru Markopoulovi, Ph.D. za pomoc s praktickou částí.

A v neposlední řadě děkuji rodině a přítelkyni Terezce za podporu a trpělivost.

Abstrakt

Tato práce se zabývá kompozitními materiály a jejich matematickým převodem na materiál homogenní stejných vlastností. Je zde zkoumáno, jakým způsobem musí být kompozit složen, aby navenek jevil vlastnosti homogenního materiálu. Problém je převeden na okrajovou úlohu rovnice vedení tepla v 1D na intervalu $\langle 0, 1 \rangle$. Konkrétně je zde řešena periodická úloha, zadáná diferenciální rovnici druhého řádu $-(a(x) \cdot u'(x))' = f(x)$ s vhodnými okrajovými podmínkami. Řešení získáno pomocí metody konečných prvků a řešení pomocí asymptotické expanze je porovnáváno s limitním řešením. S různými funkciemi jsou hledány případy, kdy se materiál jeví jako homogenní.

Klíčová slova: kompozitní materiál, homogenizace, metoda konečných prvků, asymptotická expanze

This thesis deals with composite materials and their mathematical transfer to homogenic material with same nature. Is examined, how composite material is composed, to be seen as homogenic material. Problem is transform to boundary value problem of heat conduction equation in 1D on interval $\langle 0, 1 \rangle$. Specifically is solved periodical problem, specified with second order differential equation $-(a(x) \cdot u'(x))' = f(x)$ with appropriate boundary value. Solution is obtained by finite element method and asymptotic expansion and is compared with limit solution. There are looked for instances, when composit is seen as homogenic material.

Key words: composite material, homogenization, finite element method, asymptotic expansion

Obsah

1	Úvod	3
2	Úvod do problematiky	4
2.1	Názvosloví	4
2.2	Řešený problém	4
3	Řešitelnost periodické okrajové úlohy	6
4	Úvod do matematické teorie homogenizace	10
4.1	Zavedení úlohy	10
4.2	Hledané řešení	10
4.3	Značení	11
4.4	Asymptotická expanze	11
4.4.1	První rovnice	13
4.4.2	Druhá rovnice	13
4.4.3	Třetí rovnice	15
4.4.4	Čtvrtá rovnice	19
4.5	Shrnutí	22
4.6	Metoda konečných prvků	22
5	Numerické experimenty	23
5.1	Příklad 1	24
5.2	Příklad 2	26
5.3	Příklad 3	27
5.4	Příklad 4	29
5.5	Příklad 5	30

OBSAH 2

6 Závěr **32**

Literatura **33**

Přílohy **34**

Kapitola 1

Úvod

Tato bakalářská práce se zabývá převodem matematického modelu kompozitního materiálu v 1D na materiál homogenní. Hledáme případy, ve kterých kompozitní materiál jeví vlastnosti homogenního materiálu. Na zjednodušeném modelu je ukázáno, jak takové hledání může probíhat, neboť analytické řešení u těchto typů úloh obvykle není možné.

Bude zde řešena periodická okrajová úloha

$$\begin{cases} -(a(x) \cdot u'(x))' = f(x) & \text{pro } x \in (0, 1), \\ u(0) = u(1), \\ u'(0) = u'(1), \end{cases}$$

pomocí metody konečných prvků a asymptotické expanze.

V první části vysvětluji základní pojmy, tedy co si pod některými názvy představit a co funkce mohou představovat z fyzikálního hlediska.

Druhá část je věnována matematickému modelu.

V třetí části se zabývám odvozením postupu, jak najít řešení pomocí asymptotické expanze.

Na závěr jsou na příkladech s různými funkcemi zkoumány rozdíly mezi jednotlivými metodami.

Kapitola 2

Úvod do problematiky

2.1 Názvosloví

V této části budou vysvětleny některé pojmy, se kterými se v rámci práce setkáme. Nejedná se o definice těchto slov, ale pouze popis, pro pochopení jejich významu.

Homogenní materiál

Je stejnorodý materiál, který má v každém bodě stejnou (popř. podobnou) vlastnost.

Kompozitní materiál

Kompozitní materiál (zkráceně kompozit) je materiál ze dvou, nebo více substancí s rozdílnými vlastnostmi, které dohromady dávají výslednému výrobku nové vlastnosti, které nemá sama o sobě žádná z jeho součástí. V našem případě bude výskyt této vlastnosti popsán funkcí, tedy v daném bodě bude odpovídat funkční hodnotě.

Metoda konečných prvků

Metoda konečných prvků (MKP) je numerická metoda, převádějící úlohu na soustavu lineárních rovnic. Řešení této soustavy dává pak přibližné řešení původní úlohy. Přesnost řešení je závislá na jemnosti dělení intervalu, na kterém úlohu řešíme.

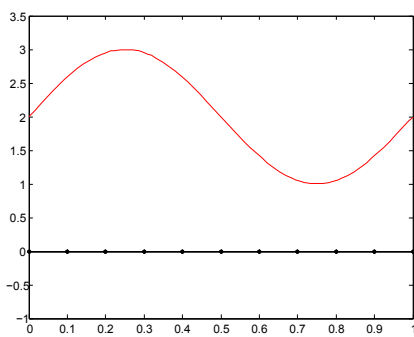
2.2 Řešený problém

Nyní, když máme zavedeny pojmy, popišme si, jakou úlohu budeme řešit a jaké informace může nést.

Představme si, že máme strunu z nějakého kompozitního materiálu.

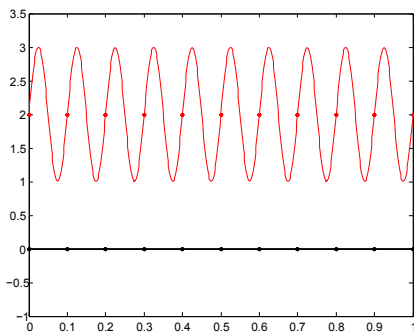
Jak jsme si již řekli výše, kompozitní materiál nemá ve všech bodech stejnou vlastnost (například tepelnou vodivost), proto ji budeme reprezentovat funkcí $a(x)$. Na tuto strunu bude působit nějaká funkce $f(x)$, která zastupuje vnější vliv sledované veličiny (např. teploty). Výsledkem má být funkce $u(x)$, ta představuje výslednou teplotu v průřezu struny.

Abychom mohli říct, že se kompozitní materiál jeví jako homogenní, nestačí, aby funkce $a(x)$ popisovala strukturu na celém intervalu, jako na obrázku (2.1),



Obrázek 2.1: Neopakující se funkce $a(x)$.

ale periodicky se opakuje na co nejmenších intervalech, na obrázku (2.2) znázorněno 10x.



Obrázek 2.2: Opakující se funkce $a(x)$.

Budeme tedy řešit rovnici

$$-(a\left(\frac{x}{\varepsilon}\right) \cdot u'(x))' = f(x),$$

ke které zvolíme vhodné okrajové podmínky.

Kapitola 3

Řešitelnost periodické okrajové úlohy

V této kapitole zavedeme matematickou úlohu, jejímž řešením se budeme zabývat, a dokážeme podmínky řešitelnosti této úlohy.

Jedná se o periodickou okrajovou úlohu.

$$\begin{cases} -(a(x) \cdot u'(x))' = f(x) & \text{pro } x \in (0, 1), \\ u(0) = u(1), \\ u'(0) = u'(1), \end{cases} \quad (3.1)$$

kde:

- $f(x) \in C(\langle 0, 1 \rangle)$
- $a(x) \in C^1(\langle 0, 1 \rangle)$: $\exists \bar{a} \in \mathbb{R} \ \forall x \in \mathbb{R}; a(x) \geq \bar{a} > 0; a(0) = a(1), a'(0) = a'(1).$

Definice 1. (Klasickým) řešením úlohy (3.1) rozumíme funkci $u(x) \in C^2(\langle 0, 1 \rangle)$ takovou, že: $\forall x \in (0, 1): -(a(x)u'(x))' = f(x)$ a současně $u(0) = u(1), u'(0) = u'(1).$

Věta 1 (O nutné a postačující podmínce).

(i) Nechť má úloha (3.1) řešení, pak pro funkci $f(x)$ platí: $\int_0^1 f(x) dx = 0.$

(ii) Nechť pro funkci $f(x)$ platí $\int_0^1 f(x)dx = 0$, pak úloha (3.1) má řešení.

Tedy vlastnost

$$\int_0^1 f(x)dx = 0$$

je nutnou a zároveň postačující podmínkou řešitelnosti úlohy (3.1).

Důkaz.

(i) Bud' $u(x)$ řešením (3.1).

Pak integrací $-(a(x) \cdot u'(x))' = f(x)$, dostáváme výraz

$$-a(x) \cdot u'(x) = \int_0^x f(S)dS + c, \quad \text{kde } c \in \mathbb{R},$$

po dosazení okrajových podmínek:

- pro $x = 0$:

$$-a(0) \cdot u'(0) = \int_0^0 f(S)dS + c,$$

$$-a(0) \cdot u'(0) = c,$$

- pro $x = 1$:

$$-a(1) \cdot u'(1) = \int_0^1 f(S)dS + c.$$

Jelikož $a(0) = a(1)$ a také $u'(0) = u'(1)$, tak platí:

$$\int_0^1 f(S)dS + c = c, \quad \text{kde } c \in \mathbb{R},$$

tedy

$$\int_0^1 f(S)dS = 0.$$

$$(i) \text{ Nechť } \int_0^1 f(x)dx = 0.$$

Hledejme řešení $u(x)$ úlohy (3.1). Pokusme se vyjádřit $u(x)$ z diferenciální rovnice úlohy (3.1).

$$\begin{aligned} -a(x) \cdot u'(x) &= \int_0^x f(S)dS + c, \quad \text{kde } c \in \mathbb{R}, \\ -u'(x) &= \frac{1}{a(x)} \int_0^x f(S)dS + \frac{c}{a(x)}, \end{aligned}$$

po integraci dostáváme:

$$-u(x) = \int_0^x \left[\frac{1}{a(t)} \int_0^t f(S)dS \right] dt + \int_0^x \frac{c}{a(t)} dt + d, \quad \text{kde } d \in \mathbb{R}.$$

Vzhledem k zadaným okrajovým podmínkám je zřejmé, že je-li $u(x)$ řešením úlohy, je také $u(x) + c$ řešením. Pokusíme se proto najít řešení, splňující podmínu $u(0) = u(1) = 0$.

- pro $x = 0$ platí:

$$-u(0) = \underbrace{\int_0^0 \left[\frac{1}{a(t)} \int_0^t f(S)dS \right] dt}_{0} + \underbrace{\int_0^0 \frac{c}{a(t)} dt}_{0} + d,$$

odkud s využitím $u(0) = 0$ dostáváme:

$$0 = d \tag{3.2}$$

- pro $x = 1$ platí:

$$-u(1) = \int_0^1 \left[\frac{1}{a(t)} \int_0^t f(S)dS \right] dt + \int_0^1 \frac{c}{a(t)} dt + 0,$$

a proto z předpokladu $u(1) = 0$ dostáváme:

$$0 = \int_0^1 \left[\frac{1}{a(t)} \int_0^t f(S)dS \right] dt + \int_0^1 \frac{c}{a(t)} dt. \tag{3.3}$$

Odtud vyjádříme konstantu c :

$$\begin{aligned} - \int_0^1 \left[\frac{1}{a(t)} \int_0^t f(S) dS \right] dt &= \int_0^1 \frac{c}{a(t)} dt, \\ - \int_0^1 \left[\frac{1}{a(t)} \int_0^t f(S) dS \right] dt &= c \int_0^1 \frac{1}{a(t)} dt, \\ \frac{- \int_0^1 \left[\frac{1}{a(t)} \int_0^t f(S) dS \right] dt}{\int_0^1 \frac{1}{a(t)} dt} &= c. \end{aligned}$$

Dokázali jsme, že řešení existuje a splňuje $u(0) = u(1)$, zbývá dokázat, že splňuje také $u'(0) = u'(1)$.

K tomu využijme $\int_0^1 f(x) dx = 0$:

Zintegrujme diferenciální rovnici z (3.1)

$$\begin{aligned} - \int_0^1 (a(x) \cdot u'(x))' dx &= \int_0^1 f(x) dx, \\ - \left[a(x) \cdot u'(x) \right]_0^1 &= 0, \\ (a(1) \cdot u'(1)) - (a(0) \cdot u'(0)). \end{aligned}$$

Jelikož $a(0) = a(1)$, tak:

$$\begin{aligned} u'(1) - u'(0) &= 0, \\ u'(0) &= u'(1). \end{aligned}$$

□

Dokázali jsme, že podmínka $\int_0^1 f(x) dx = 0$ je nutnou i postačující podmínkou řešitelnosti úlohy. A že řešení je určeno jednoznačně (až na konstantu).

Kapitola 4

Úvod do matematické teorie homogenizace

V následující kapitole se budeme zabývat asymptotickou expanzí.[1][2]

4.1 Zavedení úlohy

Uvažujme periodickou úlohu

$$\begin{cases} -(a(\frac{x}{\varepsilon}) \cdot u'_\varepsilon(x))' = f(x) & \text{pro } x \in (0, 1), \\ u_\varepsilon(0) = u_\varepsilon(1), \\ u'_\varepsilon(0) = u'_\varepsilon(1), \end{cases} \quad (4.1)$$

kde pro jednoduchost:

- $f(x) \in C(\langle 0, 1 \rangle)$
- $a(x) \in C^1(\mathbb{R})$, 1-periodická, a současně $\exists \bar{a} \in \mathbb{R} \quad \forall x \in \mathbb{R}: a(x) \geq \bar{a} > 0$

4.2 Hledané řešení

Předpokládejme, že platí nutná a postačující podmínka, tedy $\int_0^1 f(x) dx = 0$. Pak je řešení určeno jednoznačně (až na konstantu). Najděme řešení, pro něž platí

$$u_\varepsilon(0) = u_\varepsilon(1) = 0.$$

Hledejme řešení u_ε ve tvaru:

$$u_\varepsilon(x) = u_0\left(x, \frac{x}{\varepsilon}\right) + \varepsilon \cdot u_1\left(x, \frac{x}{\varepsilon}\right) + \varepsilon^2 \cdot u_2\left(x, \frac{x}{\varepsilon}\right) + \dots, \quad (4.2)$$

kde pro pevné x jsou funkce $y \rightarrow u_i(x, y)$ 1-periodické a každá funkce $u_i(x, \frac{x}{\varepsilon})$ splňuje okrajové podmínky:

$$\begin{aligned} u_i(x, 0) &= u_i(x, 0), \\ \frac{\partial u_i}{\partial y}(x, 0) &= \frac{\partial u_i}{\partial y}(x, 0). \end{aligned}$$

Hledáme předpisy pro funkce $u_0(x, \frac{x}{\varepsilon})$, $u_1(x, \frac{x}{\varepsilon})$, $u_2(x, \frac{x}{\varepsilon})$, ...

4.3 Značení

Pro zjednodušení zápisů zavedeme následující značení:

Je-li $\Psi: \mathbf{R}^2 \rightarrow \mathbf{R}$ hladká funkce, platí pro derivaci funkce

$$h(x) := \Psi\left(x, \frac{x}{\varepsilon}\right) \quad (4.3)$$

vztah

$$h'(x) = \frac{\partial \Psi}{\partial x}\left(x, \frac{x}{\varepsilon}\right) + \frac{1}{\varepsilon} \cdot \frac{\partial \Psi}{\partial y}\left(x, \frac{x}{\varepsilon}\right) = \frac{\partial \Psi}{\partial x}(x, y) + \frac{1}{\varepsilon} \frac{\partial \Psi}{\partial y}(x, y), \quad \text{kde } y = \frac{x}{\varepsilon}. \quad (4.4)$$

Pokud nebude řečeno jinak, v této práci uvažujme vždy $y = \frac{x}{\varepsilon}$.

4.4 Asymptotická expanze

Nyní budeme chtít dosadit u_ε ve tvaru (4.2) do diferenciální rovnice v (4.1).

Derivace (4.2) pomocí vzorce (4.4) vyjádřeme takto:

$$\begin{aligned} (u_\varepsilon(x))' &= \frac{\partial u_0}{\partial x}(x, y) + \frac{1}{\varepsilon} \cdot \frac{\partial u_0}{\partial y}(x, y) + \\ &\quad + \varepsilon \cdot \frac{\partial u_1}{\partial x}(x, y) + 1 \cdot \frac{\partial u_1}{\partial y}(x, y) + \\ &\quad + \varepsilon^2 \cdot \frac{\partial u_2}{\partial x}(x, y) + \varepsilon \cdot \frac{\partial u_2}{\partial y}(x, y) + \\ &\quad + \dots \end{aligned} \quad (4.5)$$

Upravme levou stranu (4.1) pomocí vzorce (4.4). (Opět $y = \frac{x}{\varepsilon}$).

$$-(a(y) \cdot u'_\varepsilon(x))' = -\left[\frac{\partial}{\partial x}(a(y)u'_\varepsilon(x)) + \frac{1}{\varepsilon} \cdot \frac{\partial}{\partial y}(a(y)u'_\varepsilon(x)) \right] = f(x), \quad (4.6)$$

a dosadíme (4.5) do (4.6)

$$\begin{aligned}
 & -\frac{\partial}{\partial x} \left(a(y) \left(\frac{\partial u_0}{\partial x}(x, y) + \frac{1}{\varepsilon} \cdot \frac{\partial u_0}{\partial y}(x, y) + \varepsilon \cdot \frac{\partial u_1}{\partial x}(x, y) + \right. \right. \\
 & \quad \left. \left. + 1 \cdot \frac{\partial u_1}{\partial y}(x, y) + \varepsilon^2 \cdot \frac{\partial u_2}{\partial x}(x, y) + \varepsilon \cdot \frac{\partial u_2}{\partial y}(x, y) + \dots \right) \right) - \\
 & -\frac{1}{\varepsilon} \frac{\partial}{\partial y} \left(a(y) \left(\frac{\partial u_0}{\partial x}(x, y) + \frac{1}{\varepsilon} \cdot \frac{\partial u_0}{\partial y}(x, y) + \varepsilon \cdot \frac{\partial u_1}{\partial x}(x, y) + \right. \right. \\
 & \quad \left. \left. + 1 \cdot \frac{\partial u_1}{\partial y}(x, y) + \varepsilon^2 \cdot \frac{\partial u_2}{\partial x}(x, y) + \varepsilon \cdot \frac{\partial u_2}{\partial y}(x, y) + \dots \right) \right) = \\
 & = f(x)
 \end{aligned}$$

Setřídíme nyní levou stranu podle mocnin čísla ε , přičemž si rovnou všimněme, že některé výrazy se opakují nebo jsou si velice podobné, proto si je vhodně označme.

$$\begin{aligned}
 & \frac{1}{\varepsilon^2} \cdot \left[\underbrace{-\frac{\partial}{\partial y} \left(a(y) \cdot \frac{\partial u_0}{\partial y}(x, y) \right)}_{A_0(u_0)} \right] + \\
 & + \frac{1}{\varepsilon} \cdot \left[\underbrace{-\frac{\partial}{\partial x} \left(a(y) \cdot \frac{\partial u_0}{\partial y}(x, y) \right)}_{A_1(u_0)} - \underbrace{\frac{\partial}{\partial y} \left(a(y) \cdot \frac{\partial u_0}{\partial x}(x, y) \right)}_{A_0(u_1)} - \underbrace{\frac{\partial}{\partial y} \left(a(y) \cdot \frac{\partial u_1}{\partial y}(x, y) \right)}_{A_0(u_1)} \right] + \\
 & + \varepsilon^0 \cdot \left[\underbrace{-\frac{\partial}{\partial x} \left(a(y) \cdot \frac{\partial u_0}{\partial x}(x, y) \right)}_{A_2(u_0)} - \underbrace{\frac{\partial}{\partial x} \left(a(y) \cdot \frac{\partial u_1}{\partial y}(x, y) \right)}_{A_1(u_1)} - \underbrace{\frac{\partial}{\partial y} \left(a(y) \cdot \frac{\partial u_1}{\partial x}(x, y) \right)}_{A_1(u_1)} - \underbrace{\frac{\partial}{\partial y} \left(a(y) \cdot \frac{\partial u_2}{\partial y}(x, y) \right)}_{A_0(u_2)} \right] + \\
 & + \varepsilon \cdot \left[\underbrace{-\frac{\partial}{\partial x} \left(a(y) \cdot \frac{\partial u_1}{\partial x}(x, y) \right)}_{A_2(u_1)} - \underbrace{\frac{\partial}{\partial x} \left(a(y) \cdot \frac{\partial u_2}{\partial y}(x, y) \right)}_{A_1(u_2)} - \underbrace{\frac{\partial}{\partial y} \left(a(y) \cdot \frac{\partial u_2}{\partial x}(x, y) \right)}_{A_1(u_2)} - \underbrace{\frac{\partial}{\partial y} \left(a(y) \cdot \frac{\partial u_3}{\partial x}(x, y) \right)}_{A_0(u_3)} \right] + \\
 & + \varepsilon^2 \cdot \left[\dots \right] + \dots = f(x).
 \end{aligned}$$

Tato rovnost bude splněna, pokud najdeme funkce $u_0(x, y), u_1(x, y), u_2(x, y), \dots$ takové, aby

$$A_0(u_0) = 0 \tag{4.7}$$

$$A_1(u_0) + A_0(u_1) = 0 \tag{4.8}$$

$$A_2(u_0) + A_1(u_1) + A_0(u_2) = f(x) \tag{4.9}$$

$$A_2(u_1) + A_1(u_2) + A_0(u_3) = 0 \tag{4.10}$$

⋮

4.4.1 První rovnice

Hledejme řešení u_0 (4.7), tj. funkci $u_0(x, y)$, pro níž

$$\begin{cases} -\frac{\partial}{\partial y} \left(a(y) \cdot \frac{\partial u_0}{\partial y}(x, y) \right) = 0, \\ u_0(x, 0) = u_0(x, 1), \\ \frac{\partial u_0}{\partial y}(x, 0) = \frac{\partial u_0}{\partial y}(x, 1). \end{cases}$$

Víme, že y je proměnná této rovnice a x je parametr. Nutná a postačující podmínka (tedy $\int_0^1 0 dy = 0$) je splněna. Je zřejmé, že jedno z možných řešení je konstantní funkce $u_0(x, y) = 0$, která může být posunuta o konstantu (která je závislá na parametru x), proto

$$u_0(x, y) = u_0(x). \quad (4.11)$$

4.4.2 Druhá rovnice

V následující sekci se pomocí (4.8) pokusme získat $u_1(x, y)$, řešíme tedy

$$\begin{cases} -\frac{\partial}{\partial y} \left(a(y) \cdot \frac{\partial u_1}{\partial y}(x, y) \right) = \frac{\partial}{\partial x} \left(a(y) \cdot \frac{\partial u_0}{\partial y}(x, y) \right) + \frac{\partial}{\partial y} \left(a(y) \cdot \frac{\partial u_0}{\partial x}(x, y) \right), \\ u_1(x, 0) = u_1(x, 1), \\ \frac{\partial u_1}{\partial y}(x, 0) = \frac{\partial u_1}{\partial y}(x, 1). \end{cases} \quad (4.12)$$

S využitím (4.11) z předchozí kapitoly, díky čemuž

$$\frac{\partial u_0}{\partial y}(x, y) = 0,$$

můžeme tedy (4.12) zapsat v zjednodušeném tvaru

$$\begin{cases} -\frac{\partial}{\partial y} \left(a(y) \cdot \frac{\partial u_1}{\partial y}(x, y) \right) = \frac{\partial}{\partial y} \left(a(y) \cdot \frac{\partial u_0}{\partial x}(x, y) \right), \\ u_1(x, 0) = u_1(x, 1), \\ \frac{\partial u_1}{\partial y}(x, 0) = \frac{\partial u_1}{\partial y}(x, 1). \end{cases}$$

Pravou stranu diferenciální rovnice můžeme přepsat do tvaru

$$-\frac{\partial}{\partial y} \left(a(y) \cdot \frac{\partial u_1}{\partial y}(x, y) \right) = \frac{\partial a(y)}{\partial y} \cdot \frac{\partial u_0}{\partial x}. \quad (4.13)$$

Proměnná x opět vystupuje v roli parametru. Platnosti nutné a postačující podmínky $\int_0^1 \frac{\partial a(y)}{\partial y} \cdot \frac{\partial u_0}{\partial x} dy = 0$ je zaručena vlastností funkce $a(y)$.

Pro připomenutí: $a(y)$ je 1-periodická a proto

$$\int_0^1 \frac{\partial a(y)}{\partial y} \cdot \frac{\partial u_0(x)}{\partial x} dy = \frac{\partial u_0(x)}{\partial x} \int_0^1 \frac{\partial a(y)}{\partial y} dy = \frac{\partial u_0(x)}{\partial x} [a(y)]_0^1 = \frac{\partial u_0(x)}{\partial x} (\underbrace{a(1) - a(0)}_{=0}) = 0,$$

víme tedy, že řešení existuje jednoznačně (až na „konstantu“ - funkci proměnné x).

Zkusme najít řešení $u_1(x, y)$ ve tvaru

$$u_1(x, y) = -\frac{\partial u_0(x)}{\partial x} \cdot \chi(y), \quad (4.14)$$

kde

$$\begin{aligned} \chi(0) &= \chi(1), \\ \chi'(0) &= \chi'(1). \end{aligned}$$

Dosadíme (4.14) do (4.13)

$$\frac{\partial}{\partial y} \left(a(y) \cdot \frac{\partial u_0}{\partial x} \cdot \chi'(y) \right) = \frac{\partial a(y)}{\partial y} \cdot \frac{\partial u_0}{\partial x}.$$

Výraz $\frac{\partial u_0}{\partial x}$ můžeme zkrátit, získáme tak rovnici závislou pouze na y

$$\left(a(y) \cdot \chi'(y) \right)' = a'(y),$$

po integraci můžeme vyjádřit $\chi'(y)$

$$\chi'(y) = 1 + \frac{c}{a(y)}, \quad c \in \mathbb{R}. \quad (4.15)$$

Vyjádřeme nyní $\chi(y)$

$$\chi(y) = y + \int_0^y \frac{c}{a(t)} dt + d, \quad d \in \mathbb{R}, \quad (4.16)$$

a dosadíme do (4.14):

$$u_1(x, y) = -u'_0(x) \cdot \left(y + \int_0^y \frac{c}{a(t)} dt + d \right) + \tilde{\varphi}(x), \quad d \in \mathbb{R},$$

kde $\tilde{\varphi}(x)$ je zmiňovaná konstanta. Upravme:

$$u_1(x, y) = -u'_0(x) \cdot \left(y + \int_0^y \frac{c}{a(t)} dt \right) \underbrace{-u'_0(x) \cdot d + \tilde{\varphi}(x)}_{\varphi(x)}$$

Můžeme zvolit $d = 0$, takže:

$$\begin{aligned}\chi(y) &= y + \int_0^y \frac{c}{a(t)} dt, \\ \varphi(x) &= \tilde{\varphi}(x),\end{aligned}$$

dostáváme tak:

$$u_1(x, y) = -u'_0(x) \cdot \chi(y) + \varphi(x). \quad (4.17)$$

V této fázi neznáme ještě $\varphi(x)$ (vyjádření φ viz sekce (4.4.4)), ale můžeme vyjádřit c :

$u_1(x, y)$ je v y 1-periodické, proto

$$\begin{aligned}u_1(x, 0) &= u_1(x, 1) \\ &\Downarrow \\ \chi(0) &= \chi(1) \\ &\Downarrow \\ 0 &= 1 + \int_0^1 \frac{c}{a(t)} dt \\ &\Downarrow \\ c &= -\frac{1}{\int_0^1 \frac{1}{a(t)} dt}.\end{aligned}$$

4.4.3 Třetí rovnice

Pracujme nyní s rovnicí (4.9) s neznámou $u_2(x, y)$.

$$A_0(u_2) = f(x) - A_1(u_1) - A_2(u_0),$$

tedy

$$-\frac{\partial}{\partial y} \left(a(y) \cdot \frac{\partial u_2}{\partial y}(x, y) \right) = f(x) + \frac{\partial}{\partial x} \left(a(y) \cdot \frac{\partial u_1}{\partial y}(x, y) \right) + \frac{\partial}{\partial y} \left(a(y) \cdot \frac{\partial u_1}{\partial x}(x, y) \right) + \frac{\partial}{\partial x} \left(a(y) \cdot \frac{\partial u_0}{\partial x}(x) \right).$$

$$\begin{cases} -\frac{\partial}{\partial y} \left(a(y) \cdot \frac{\partial u_2}{\partial y}(x, y) \right) = f(x) + \frac{\partial}{\partial x} \left(a(y) \cdot \frac{\partial u_1}{\partial y}(x, y) \right) + \frac{\partial}{\partial y} \left(a(y) \cdot \frac{\partial u_1}{\partial x}(x, y) \right) + \frac{\partial}{\partial x} \left(a(y) \cdot \frac{\partial u_0}{\partial x}(x) \right), \\ u_2(x, 0) = u_2(x, 1), \\ \frac{\partial u_2}{\partial y}(x, 0) = \frac{\partial u_2}{\partial y}(x, 1). \end{cases}$$

Nejprve se zabývejme nutnou a postačující podmínku

$$\int_0^1 \left[f(x) - A_1(u_1) - A_2(u_0) \right] dy = 0,$$

neboli

$$\int_0^1 f(x) dy + \int_0^1 \left[\frac{\partial}{\partial x} \left(a(y) \cdot \frac{\partial u_1}{\partial y}(x, y) \right) \right] dy + \int_0^1 \left[\frac{\partial}{\partial y} \left(a(y) \cdot \frac{\partial u_1}{\partial x}(x, y) \right) \right] dy + \int_0^1 \left[\frac{\partial}{\partial x} \left(a(y) \cdot \frac{\partial u_0}{\partial x}(x, y) \right) \right] dy = 0.$$

Dosad' mě ze vztahů (4.11) a (4.17)

$$\int_0^1 f(x) dy + \int_0^1 \left[a(y) \cdot \frac{\partial}{\partial x} \left(-u'_0(x) \cdot \chi'(y) \right) \right] dy + \int_0^1 \frac{\partial}{\partial y} \left[a(y) \cdot \left(-u''_0(x) \cdot \chi(y) + \varphi'(x) \right) \right] dy + \int_0^1 \left[a(y) \cdot u''_0(x) \right] dy = 0.$$

Odtud:

$$f(x) - u''_0(x) \underbrace{\int_0^1 a(y) \cdot \chi'(y) dy}_{=0} - u''_0(x) \underbrace{\int_0^1 \frac{\partial}{\partial y} \left(a(y) \cdot \chi(y) \right) dy}_{=0} + \varphi'(x) \cdot \int_0^1 \frac{\partial a(y)}{\partial y} dy + u''_0(x) \int_0^1 a(y) dy = 0,$$

$$f(x) - u''_0(x) \int_0^1 \left[a(y) \left(1 + \frac{c}{a(y)} \right) - a(y) \right] dy = 0,$$

$$f(x) = u''_0(x) \left[\int_0^1 a(y) dy + \int_0^1 a(y) \frac{c}{a(y)} dy - \int_0^1 a(y) dy \right],$$

$$f(x) = u''_0(x) \int_0^1 c dy,$$

$$f(x) = c \cdot u''_0(x),$$

$$f(x) = -(a_0 \cdot u'_0(x))',$$

$$f(x) = -a_0 \cdot u''_0(x), \quad (4.18)$$

kde a_0 je takzvaný zhomogenizovaný koeficient:

$$a_0 = \frac{1}{\int_0^1 \frac{1}{a(t)} dt} = -c. \quad (4.19)$$

Dostali jsme tak rovnici, z níž již lze získat funkci $u_0(x)$, kterou nazveme limitní řešení úlohy (4.1).

Nyní se vraťme k třetí rovnici (4.9)

$$-A_0(u_2) = A_2(u_0) + A_1(u_1) - f(x),$$

$$\frac{\partial}{\partial y} \left(a(y) \cdot \frac{\partial u_2}{\partial y}(x, y) \right) = -\frac{\partial}{\partial x} \left(a(y) \cdot \frac{\partial u_0}{\partial x}(x) \right) - \frac{\partial}{\partial x} \left(a(y) \cdot \frac{\partial u_1}{\partial y}(x, y) \right) - \frac{\partial}{\partial y} \left(a(y) \cdot \frac{\partial u_1}{\partial x}(x, y) \right) - f(x).$$

Po dosazení z rovnic (4.11), (4.17) a (4.18) získáme

$$\frac{\partial}{\partial y} \left(a(y) \cdot \frac{\partial u_2}{\partial y}(x, y) \right) = -a(y) \cdot u_0''(x) - a(y) \cdot \frac{\partial}{\partial x} \left(-u_0'(x) \cdot \chi'(y) \right) - \frac{\partial}{\partial y} \left[a(y) \cdot \left(-u_0''(x) \cdot \chi(y) + \varphi'(x) \right) \right] + a_0 \cdot u_0''(x).$$

Proved'me derivace ve všech členech na pravé straně rovnice:

$$\frac{\partial}{\partial y} \left(a(y) \cdot \frac{\partial u_2}{\partial y}(x, y) \right) = -a(y) \cdot u_0''(x) + a(y) \cdot u_0''(x) \cdot \chi'(y) + u_0''(x) \cdot (a(y) \cdot \chi(y))' - \varphi'(x) \cdot a'(y) + a_0 \cdot u_0''(x)$$

a vytkněme $u_0''(x)$ ze všech členů, ve kterých je to možné:

$$\frac{\partial}{\partial y} \left(a(y) \cdot \frac{\partial u_2}{\partial y}(x, y) \right) = u_0''(x) \cdot \left[-a(y) + a(y) \cdot \chi'(y) + (a(y) \cdot \chi(y))' + a_0 \right] - \varphi'(x) \cdot a'(y).$$

Dosad'me nyní za $\chi'(y)$ z rovnice (4.15)

$$\frac{\partial}{\partial y} \left(a(y) \cdot \frac{\partial u_2}{\partial y}(x, y) \right) = u_0''(x) \cdot \underbrace{\left[-a(y) + a(y) \cdot \left(1 + \frac{c}{a(y)} \right) + a_0 + (a(y) \cdot \chi(y))' \right]}_{=0} - \varphi'(x) \cdot a'(y),$$

tím dostáváme tvar

$$\frac{\partial}{\partial y} \left(a(y) \cdot \frac{\partial u_2}{\partial y}(x, y) \right) = u_0''(x) \cdot (a(y) \cdot \chi'(y))' - \varphi'(x) \cdot a'(y). \quad (4.20)$$

Hledejme nyní jedno z řešení ve tvaru

$$\tilde{u}_2(x, y) = u_0''(x) \cdot Q(y) - \varphi'(x) \cdot \alpha(y),$$

kde

$$\begin{aligned} Q(0) &= Q(1), \\ Q'(0) &= Q'(1), \end{aligned}$$

$$\begin{aligned} \alpha(0) &= \alpha(1), \\ \alpha'(0) &= \alpha'(1). \end{aligned}$$

Derivace podle y potom bude

$$\frac{\partial \tilde{u}_2}{\partial y}(x, y) = u_0''(x) \cdot Q'(y) - \varphi'(x) \cdot \alpha'(y).$$

Dosazením do (4.20) získáme

$$\frac{\partial}{\partial y} \left(a(y) \cdot u_0''(x) \cdot Q'(y) - a(y) \cdot \varphi'(x) \cdot \alpha'(y) \right) = u_0''(x) \cdot (a(y) \cdot \chi'(y))' - \varphi'(x) \cdot a'(y),$$

po úpravě levé strany

$$u_0''(x) (a(y) \cdot Q'(y))' - \varphi'(x) (a(y) \cdot \alpha'(y))' = u_0''(x) \cdot (a(y) \cdot \chi'(y))' - \varphi'(x) \cdot a'(y).$$

Tato rovnost bude platit, pokud

$$u_0''(x) (a(y) \cdot Q'(y))' = u_0''(x) \cdot (a(y) \cdot \chi'(y))' \quad (4.21)$$

a

$$\varphi'(x) (a(y) \cdot \alpha'(y))' = \varphi'(x) \cdot a'(y). \quad (4.22)$$

Vyřešme nyní (4.21):

$$\begin{aligned} a(y) \cdot Q'(y) &= a(y) \cdot \chi(y) + k_1 \\ Q'(y) &= \chi(y) + \frac{k_1}{a(y)} \\ Q(y) &= \int_0^y \chi(t) dt + \int_0^y \frac{k_1}{a(t)} dt + k_2 \end{aligned}$$

Obdobně vyřešme (4.22):

$$\begin{aligned} a(y) \cdot \alpha'(y) &= a(y) + l_1 \\ \alpha'(y) &= 1 + \frac{l_1}{a(y)} \\ \alpha(y) &= y + \int_0^y \frac{l_1}{a(t)} dt + l_2 \end{aligned}$$

Dostáváme tak hledané řešení ve tvaru

$$u_2(x, y) = u_0''(x) \cdot Q(y) - \varphi'(x) \cdot \alpha(y) + \psi(x).$$

Díky tomu, že hledáme řešení splňující $Q(0) = Q(1)$ a $\alpha(0) = \alpha(1)$, můžeme se pokusit nalezené řešení dále upravit: z $Q(0) = Q(1)$ plyne:

$$\begin{aligned} 0 &= \int_0^1 \chi(t) dt + \int_0^1 \frac{k_1}{a(t)} dt, \\ k_1 &= -\frac{\int_0^1 \chi(t) dt}{\int_0^1 \frac{1}{a(t)} dt}, \\ k_1 &= -a_0 \cdot \int_0^1 \chi(t) dt; \end{aligned} \tag{4.23}$$

z $\alpha(0) = \alpha(1)$ plyne:

$$\begin{aligned} 0 &= 1 + \int_0^1 \frac{l_1}{a(t)}, \\ l_1 &= -a_0, \\ l_1 &= c. \end{aligned} \tag{4.24}$$

Všimněme si, že $\alpha(y) = \chi(y)$, proto získáváme nový tvar řešení

$$u_2(x, y) = u_0''(x) \cdot Q(y) - \varphi'(x) \cdot \chi(y) + \psi(x). \tag{4.25}$$

4.4.4 Čtvrtá rovnice

Nyní z úlohy (4.10) získáme předpis pro $\varphi(x)$, který potřebujeme dosadit do (4.17). K tomu využijeme nutnou a postačující podmínu.

Aby tato podmínka byla splněna, musí platit

$$\int_0^1 \left[-A_2(u_1) - A_1(u_2) \right] dy = 0,$$

neboli

$$\int_0^1 \left[\frac{\partial}{\partial x} \left(a(y) \cdot \frac{\partial u_1}{\partial x}(x, y) \right) + \frac{\partial}{\partial x} \left(a(y) \cdot \frac{\partial u_2}{\partial y}(x, y) \right) + \frac{\partial}{\partial y} \left(a(y) \cdot \frac{\partial u_2}{\partial x}(x, y) \right) \right] dy = 0.$$

Dosad'me z (4.17) a (4.25):

$$\begin{aligned} 0 &= \int_0^1 \left[\frac{\partial}{\partial x} \left(a(y) \cdot \frac{\partial}{\partial x} (-u'_0(x) \cdot \chi(y) + \varphi(x)) \right) \right] dy + \\ &+ \int_0^1 \left[\frac{\partial}{\partial x} \left(a(y) \cdot \frac{\partial}{\partial y} (u''_0(x) \cdot Q(y) - \varphi'(x) \cdot \chi(y) + \psi(x)) \right) \right] dy + \\ &+ \int_0^1 \left[\frac{\partial}{\partial y} \left(a(y) \cdot \frac{\partial}{\partial x} (u''_0(x) \cdot Q(y) - \varphi'(x) \cdot \chi(y) + \psi(x)) \right) \right] dy, \end{aligned}$$

upravme

$$\begin{aligned} 0 &= \int_0^1 \left[a(y) \cdot \frac{\partial}{\partial x} \left(-u''_0(x) \cdot \chi(y) + \varphi'(x) \right) \right] dy + \\ &+ \int_0^1 \left[a(y) \cdot \frac{\partial}{\partial x} \left(u''_0(x) \cdot Q'(y) - \varphi'(x) \cdot \chi'(y) \right) \right] dy + \\ &+ \int_0^1 \frac{\partial}{\partial y} \left[a(y) \left(u'''_0(x) \cdot Q(y) - \varphi''(x) \cdot \chi(y) + \psi'(x) \right) \right] dy, \end{aligned}$$

opět zderivujme

$$\begin{aligned} 0 &= \int_0^1 \left[a(y) \cdot \left(-u'''_0(x) \cdot \chi(y) + \varphi''(x) \right) \right] dy + \\ &+ \int_0^1 \left[a(y) \cdot \left(u'''_0(x) \cdot Q'(y) - \varphi''(x) \cdot \chi'(y) \right) \right] dy + \\ &+ u'''_0(x) \underbrace{\int_0^1 \frac{\partial}{\partial y} \left(a(y) \cdot Q(y) \right) dy}_{=0} - \varphi''(x) \underbrace{\int_0^1 \frac{\partial}{\partial y} \left(a(y) \cdot \chi(y) \right) dy}_{=0} + \psi'(x) \underbrace{\int_0^1 \frac{\partial a(y)}{\partial y} dy}_{=0}. \\ 0 &= u'''_0(x) \int_0^1 \left[\underbrace{-a(y) \cdot \chi(y) + a(y) \cdot Q'(y)}_{k_1} \right] dy - \varphi''(x) \int_0^1 \left[\underbrace{-a(y) + a(y) \cdot \chi'(y)}_{l_1} \right] dy, \\ u'''_0(x) \cdot k_1 - \varphi''(x) \cdot l_1 &= 0. \end{aligned}$$

Dosadíme za k_1 z rovnice (4.23) a l_1 z (4.24)

$$u_0'''(x) \cdot \left[-a_0 \int_0^1 \chi(t) dt \right] - \varphi''(x) \cdot \left[-a_0 \right] = 0.$$

Z tohoto tvaru, již není problém nalézt $\varphi(x)$, které jsme neznali v rovnici (4.17)

$$\begin{aligned} \varphi''(x) &= \left(\int_0^1 \chi(t) dt \right) \cdot u_0'''(x) \\ &\Downarrow \end{aligned} \tag{4.26}$$

$$\begin{aligned} \varphi'(x) &= \left(\int_0^1 \chi(t) dt \right) \cdot u_0''(x) + p \\ &\Downarrow \end{aligned} \tag{4.27}$$

$$\varphi(x) = \left(\int_0^1 \chi(t) dt \right) \cdot u_0'(x) + px + q \tag{4.28}$$

Nyní se můžeme vrátit k (4.17) a dosadit z (4.28):

$$\begin{aligned} u_1(x, y) &= -u_0'(x) \cdot \chi(y) + u_0'(x) \int_0^1 \chi(t) dt + px + q, \\ u_1(x, y) &= -u_0'(x) \cdot \left[\chi(y) - \int_0^1 \chi(t) dt \right] + px + q. \end{aligned}$$

Opět využijme okrajových podmínek $u_1(0, 0) = u_1(1, 0)$

$$\begin{aligned} u_1(0, 0) &= u_1(1, 0) \\ -u_0'(0) \left[0 - \int_0^1 \chi(t) dt \right] + q &= -u_0'(1) \left[0 - \int_0^1 \chi(t) dt \right] + p + q \end{aligned} \tag{4.29}$$

Jelikož $u_0(0) = u_0(1)$ jednoduše získáme z rovnice (4.29) hodnotu integrační konstanty p , tzn.

$$p = 0.$$

Dále potřebujeme zjistit hodnotu konstanty q

$$\begin{aligned} u_1(0,0) &= 0 \\ \downarrow \\ -u'_0(0) \left[0 - \int_0^1 \chi(t) dt \right] + q &= 0 \\ \downarrow \\ -u'_0(0) \int_0^1 \chi(t) dt &= q. \end{aligned} \tag{4.30}$$

Tím jsme získali tvar rovnice (4.17)

$$u_1(x, y) = -u'_0(x) \cdot \left(\chi(y) - \int_0^1 \chi(t) dt \right) - u'_0(0) \cdot \left(\int_0^1 \chi(t) dt \right) \tag{4.31}$$

4.5 Shrnutí

Řešení u_ε úlohy (4.1) asymptotickou expanzí (viz. 4.2) approximujme takto:

$$u_\varepsilon(x) \doteq u_0(x) + \varepsilon \cdot u_1(x, \frac{x}{\varepsilon}) =: \tilde{u}_\varepsilon(x), \tag{4.32}$$

kde:

$u_0(x)$ je řešením úlohy

$$\begin{cases} -(a_0 \cdot u'_0(x))' = f(x), \\ u_0(0) = u_0(1) = 0, \end{cases}$$

a

$$u_1(x, \frac{x}{\varepsilon}) = -u'_0(x) \cdot \left(\chi(y) - \int_0^1 \chi(t) dt \right) - u'_0(0) \cdot \left(\int_0^1 \chi(t) dt \right).$$

4.6 Metoda konečných prvků

Metoda konečných prvků (MKP) je numerická metoda, převádějící úlohu na soustavu lineárních rovnic. Řešení této soustavy dává pak přibližné řešení původní úlohy. Se zvyšujícím se počtem dílků na intervalu se celkové řešení blíží analytickému řešení. (Odvození a vysvětlení nalezneme v [3].)

Využijeme-li odvození metody konečných prvků v [3] zjistíme, že pro náš případ lokální matice tuhosti má tvar:

$$\mathbf{A}_i = \frac{\int_i^{i+1} a(x) dx}{h} \cdot \begin{pmatrix} 1 & -1 \\ -1 & 1 \end{pmatrix}.$$

Kapitola 5

Numerické experimenty

V této kapitole jsou na příkladech ukázány právě vysvětlené metody a porovnávány výsledky. Zavedeme proto druhy chyb, které budeme porovnávat.

Supremová norma chyby

Mějme vektory u_1 a u_2 , jejichž prvky odpovídají funkčním hodnotám porovnávaných funkcí na intervalu $\langle 0, 1 \rangle$.

Relativní supremovou normou chyby označme

$$\frac{\max_i |u_1(x_i) - u_2(x_i)|}{\max_i |u_1(x_i)|},$$

kde porovnáváme závislost chyby u_1 na u_2 .

L^2 norma chyby

Mějme vektory u_1 a u_2 , jejichž prvky odpovídají funkčním hodnotám porovnávaných funkcí na intervalu $\langle 0, 1 \rangle$.

Relativní L^2 normu chyby označme

$$\sqrt{\frac{\sum_i (u_1(x_i) - u_2(x_i))^2}{\sum_i (u_1(x_i))^2}}$$

kde porovnáváme závislost chyby u_1 na u_2 .

5.1 Příklad 1

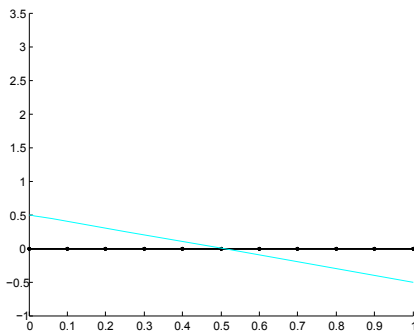
Řešme úlohu (4.1) s okrajovými podmínkami $u_\varepsilon(0) = u_\varepsilon(1) = 0$, kde máme zadány funkce

$$\begin{aligned} a(x) &= 2 + \sin(2 \cdot \pi \cdot x), \\ f(x) &= \frac{1}{2} - x. \end{aligned} \quad (5.1)$$

Nejprve se podívejme na zadané funkce, jestli splňují potřebné vlastnosti. Vzhledem k tomu, že se jedná o elementární funkce, podívejme se pouze na jejich grafy na intervalu $(0, 1)$.

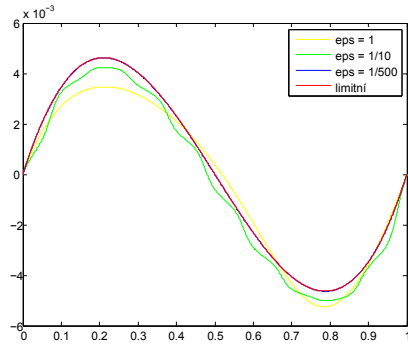
Funkci $a(x)$ jsme již měli na obrázku (2.1), a je zřejmé, že všechny vlastnosti splňuje. Tedy je hladká, 1-periodická, a současně $\exists \bar{a} \in \mathbb{R} \ \forall x \in \mathbb{R}: a(x) \geq \bar{a} > 0$.

Funkce zatížení $f(x)$ je na následujícím obrázku (5.1), opět ihned vidíme, že $\int_0^1 \frac{1}{2} - x dx = 0$.



Obrázek 5.1: Funkce zatížení.

Pomocí MKP s dělením intervalu na 5000 dílků vypočteme a graficky znázorníme řešení pro $\varepsilon = 1$, $\varepsilon = \frac{1}{10}$ a $\varepsilon = \frac{1}{500}$ a porovnejme s limitním řešením u_0 (viz. 4.18).



Obrázek 5.2: Výsledky pro různá ε .

Již z grafů vidíme, že jednotlivé křivky se od sebe poměrně liší. Budeme-li brát limitní řešení jako případ, kdy materiál vykazuje vlastnosti homogenního materiálu, můžeme říct,

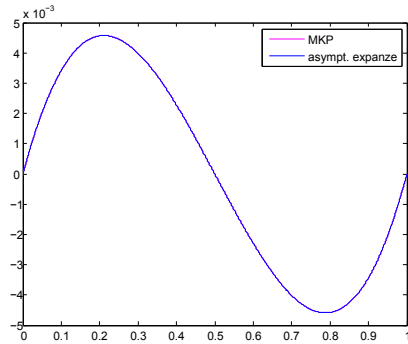
že materiály s vyšším ε nevykazují homogenitu tak, jak materiály s nižším ε . Ke stejným závěrům můžeme dojít také z následující tabulky.

Porovnání u_0 a u_ε

ε	Supremová norma	L^2 norma
1	0.2501	0.1784
$\frac{1}{5}$	0.2522	0.2474
$\frac{1}{10}$	0.1503	0.1262
$\frac{1}{50}$	0.0342	0.0254
$\frac{1}{100}$	0.0174	0.0127
$\frac{1}{250}$	0.0070	0.0052
$\frac{1}{500}$	0.0036	0.0027

Nyní řešíme úlohu (4.1) se zadáním (5.1) pomocí asymptotické expanze, najděme řešení \tilde{u}_ε (viz. 4.32).

Na obrázku (5.3) můžeme vidět grafická řešení $u_{\frac{1}{500}}$ (MKP) a $\tilde{u}_{\frac{1}{500}}$ (asymptotická expanze),

Obrázek 5.3: Porovnání \tilde{u}_ε a u_ε .Porovnání u_ε a \tilde{u}_ε

ε	Supremová norma	L^2 norma
1	$6.5540 \cdot 10^{-1}$	$8.2800 \cdot 10^{-1}$
$\frac{1}{5}$	$3.1600 \cdot 10^{-2}$	$1.9400 \cdot 10^{-2}$
$\frac{1}{10}$	$8.7000 \cdot 10^{-3}$	$4.9000 \cdot 10^{-3}$
$\frac{1}{50}$	$3.7680 \cdot 10^{-4}$	$1.9413 \cdot 10^{-4}$
$\frac{1}{100}$	$1.2771 \cdot 10^{-4}$	$5.6055 \cdot 10^{-5}$
$\frac{1}{250}$	$1.3116 \cdot 10^{-4}$	$7.2568 \cdot 10^{-5}$
$\frac{1}{500}$	$2.5084 \cdot 10^{-4}$	$1.3144 \cdot 10^{-4}$

V této tabulce vidíme, že rozdíly mezi řešeními jsou v řádech desetitisícin. Můžeme předpokládat, že jsou způsobeny především approximací \tilde{u}_ε .

5.2 Příklad 2

Řešme úlohu (4.1) s okrajovými podmínkami $u_\varepsilon(0) = u_\varepsilon(1) = 0$, kde máme zadány funkce

$$\begin{aligned} a(x) &= 2 + \sin(2\pi x), \\ f(x) &= \cos(\pi x), \end{aligned}$$

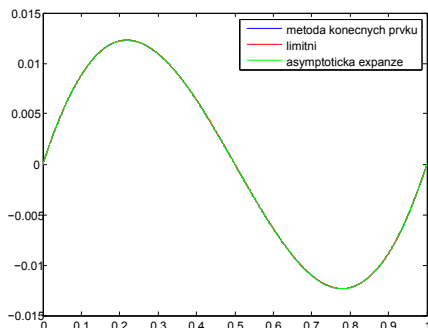
Funkce $a(x)$ je stejná jako v předchozím příkladu (5.1), ověřme pouze nutnou a postačující podmínu:

$$\int_0^1 \cos(\pi \cdot x) dx = \left[\frac{\sin(\pi x)}{\pi} \right]_0^1 = \frac{\sin(\pi)}{\pi} - \frac{\sin(0)}{\pi} = 0, \quad (5.2)$$

podmínka řešitelnosti úlohy je splněna.

Pro metodu konečných prvků využijme dělení intervalu $\langle 0, 1 \rangle$ na 2500 dílů.

Na obrázku (5.4) vidíme grafické porovnání u_0 (limitní), $u_{\frac{1}{500}}$ (metoda konečných prvků) a $\tilde{u}_{\frac{1}{500}}$ (asymptotická expanze).



Obrázek 5.4: Řešení pro nelineární $f(x)$.

Pro porovnání přesnosti jednotlivých metod v následující tabulce vidíme, že opět s menším ε kompozit více vykazuje vlastnosti homogenního materiálu.

Porovnání u_0 a u_ε

ε	Supremová norma	L^2 norma
1	0.2589	0.1848
$\frac{1}{5}$	0.2424	0.2318
$\frac{1}{10}$	0.1411	0.1168
$\frac{1}{50}$	0.0314	0.0234
$\frac{1}{100}$	0.0159	0.0117
$\frac{1}{250}$	0.0064	0.0048
$\frac{1}{500}$	0.0033	0.0025

Porovnání u_ε a \tilde{u}_ε

ε	Supremová norma	L^2 norma
1	$5.6810 \cdot 10^{-1}$	$6.9580 \cdot 10^{-1}$
$\frac{1}{5}$	$2.5100 \cdot 10^{-2}$	$1.7700 \cdot 10^{-2}$
$\frac{1}{10}$	$6.7000 \cdot 10^{-3}$	$4.4000 \cdot 10^{-3}$
$\frac{1}{50}$	$2.9499 \cdot 10^{-4}$	$1.7883 \cdot 10^{-4}$
$\frac{1}{100}$	$1.0455 \cdot 10^{-4}$	$5.1884 \cdot 10^{-5}$
$\frac{1}{250}$	$1.1883 \cdot 10^{-4}$	$6.7411 \cdot 10^{-5}$
$\frac{1}{500}$	$2.2922 \cdot 10^{-4}$	$1.2285 \cdot 10^{-4}$

Opět vidíme, že řešení u_ε a \tilde{u}_ε jsou si velice blízká.

5.3 Příklad 3

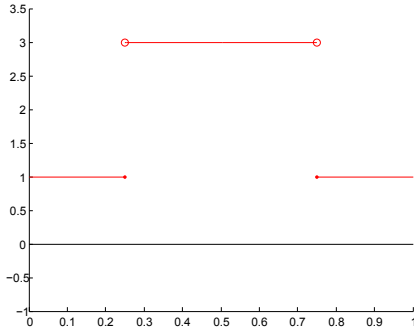
Řešme úlohu (4.1) s okrajovými podmínkami $u_\varepsilon(0) = u_\varepsilon(1) = 0$, kde máme zadány funkce

$$f(x) = \frac{1}{2} - x,$$

a $a(x) : \mathbb{R} \rightarrow \mathbb{R}$, která je 1-periodická a pro kterou platí:

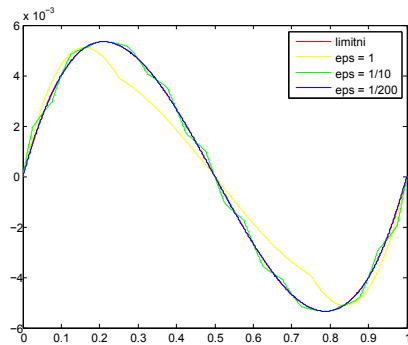
$$a(x) = \begin{cases} 1 & \text{pro } x \in \left\langle 0, \frac{1}{4} \right\rangle, \\ 3 & \text{pro } x \in \left\langle \frac{1}{4}, \frac{3}{4} \right\rangle, \\ 1 & \text{pro } x \in \left\langle \frac{3}{4}, 1 \right\rangle. \end{cases}$$

Funkce $a(x)$ na intervalu $\langle 0, 1 \rangle$ vypadá takto:



Obrázek 5.5: Jedno opakování $a(x)$ na $\langle 0, 1 \rangle$.

Nalezněme řešení pomocí metody konečných prvků u_ε , s dělení intervalu na 4869 dílů¹, a porovnejme s limitním řešením u_0 .

Obrázek 5.6: Výsledky nespojité $a(x)$ pro různá ε .

Grafické porovnání řešení pomocí MKP u_ε pro $\varepsilon = 1$, $\varepsilon = \frac{1}{10}$, $\varepsilon = u_{\frac{1}{200}}$ s limitním řešením u_0 na obrázku.

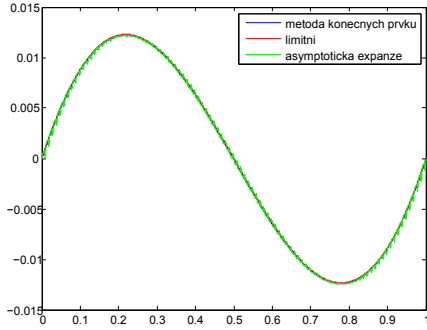
Konkrétní chyby pro různá ε opět porovnejme v tabulce. I v tomto případě vidíme, že při nižším ε se materiál víc jeví jako homogenní.

Porovnání u_0 a u_ε		
ε	Supremová norma	L^2 norma
1	0.2470	0.1995
$\frac{1}{5}$	0.2160	0.1063
$\frac{1}{10}$	0.1197	0.0486
$\frac{1}{100}$	0.0132	0.0047
$\frac{1}{200}$	0.0074	0.0025
$\frac{1}{400}$	0.0041	0.0014

Nalezněme nyní řešení pomocí asymptotické expanze. Na obrázku (5.7) vidíme grafické řešení ($\varepsilon = \frac{1}{100}$) pro u_0 (limitní), u_ε (metoda konečných prvků) a \tilde{u}_ε (asymptotická expanze).

Porovnání u_ε a \tilde{u}_ε		
ε	Supremová norma	L^2 norma
1	6.1522	3.3857
$\frac{1}{5}$	1.1782	0.4733
$\frac{1}{10}$	0.5885	0.2376
$\frac{1}{100}$	0.0640	0.0238
$\frac{1}{200}$	0.0356	0.0106
$\frac{1}{500}$	0.0137	0.0049

¹Takové dělení musíme zvolit proto, že „skoky“ mezi funkčními hodnotami funkce $a(x)$ při nižším epsilon vychází opakovaně na stejnou hodnotu, a tak zvyšují chybu řešení.

Obrázek 5.7: Porovnání u_0 , u_ϵ a \tilde{u}_ϵ .

5.4 Příklad 4

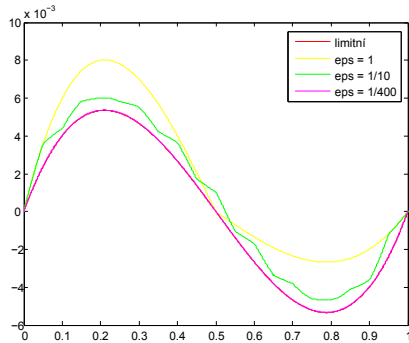
Dále se podívejme na případ, kdy $a(x)$ nebude 1-periodická. Řešme úlohu (4.1) s okrajovými podmínkami $u_\epsilon(0) = u_\epsilon(1) = 0$, kde

$$a(x) = \begin{cases} 1 & \text{pro } x \in \bigcup_{k \in \mathbb{Z}} \left\langle k, \frac{1}{2} + k \right\rangle, \\ 3 & \text{pro } x \in \bigcup_{k \in \mathbb{Z}} \left(\frac{1}{2} + k, 1 + k \right). \end{cases}$$

a

$$f(x) = \frac{1}{2} - x$$

Řešení metodou konečných prvků pro $N = 4869$ v porovnání s u_0 je na obrázku(5.8):

Obrázek 5.8: Výsledky pro nespojité $a(x)$, která není 1-periodická.

Porovnání u_ε a \tilde{u}_ε

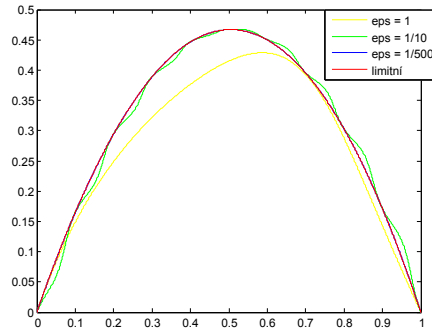
ε	Supremová norma	L^2 norma
1	0.5002	0.5001
$\frac{1}{5}$	0.3747	0.3656
$\frac{1}{10}$	0.2221	0.1855
$\frac{1}{100}$	0.0251	0.0169
$\frac{1}{200}$	0.0147	0.0117
$\frac{1}{400}$	0.0076	0.0062

5.5 Příklad 5

Pokusme se najít řešení pro $f(x)$ nesplňující nutnou a postačující podmínu řešitelnosti úlohy. Řešme úlohu (4.1) s okrajovými podmínkami $u_\varepsilon(0) = u_\varepsilon(1) = 0$, kde

$$\begin{aligned} a(x) &= 2 + \sin(2\pi x), \\ f(x) &= 6 + \sin(x). \end{aligned}$$

Na grafickém řešení (5.9) a následné tabulce vidíme, že řešení metodou konečných prvků ($N = 2500$) se opět přibližuje limitnímu řešení.

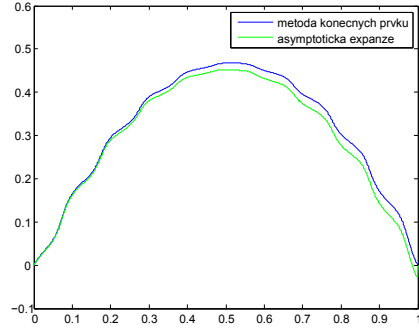


Obrázek 5.9: Výsledky pro $f(x)$ nesplňující nutnou a postačující podmínu.

Porovnání u_0 a u_ε

ε	Supremová norma	L^2 norma
1	0.1531	0.1174
$\frac{1}{5}$	0.1099	0.0640
$\frac{1}{10}$	0.0615	0.0325
$\frac{1}{50}$	0.0135	0.0065
$\frac{1}{100}$	0.0068	0.0033
$\frac{1}{250}$	0.0028	0.0013
$\frac{1}{500}$	0.0014	$6.6353 \cdot 10^{-4}$

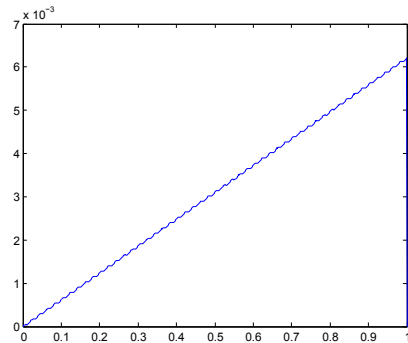
Podívejme se ovšem, jak to dopadne v případě, že budeme hledat řešení \tilde{u}_ε asymptotickou expanzí. Na obrázku (5.10) vidíme porovnání s MKP, pro $\varepsilon = 50$.



Obrázek 5.10: Grafy u_ε a \tilde{u}_ε pro $f(x)$ nesplňující nutnou a postačující podmínu.

Porovnání u_ε a \tilde{u}_ε		
ε	Supremová norma	L^2 norma
1	0.7246	0.4638
$\frac{1}{5}$	0.1333	0.1019
$\frac{1}{10}$	0.0664	0.0518
$\frac{1}{50}$	0.0133	0.0105
$\frac{1}{100}$	0.0067	0.0053
$\frac{1}{250}$	0.0027	0.0021
$\frac{1}{500}$	0.0014	0.0011

V tomto případě vidíme, že chyby mezi řešením u_ε a \tilde{u}_ε jsou poměrně velké, a jak vidíme také z grafu výskytu chyb na obrázku (5.11), absolutní chyba u_ε a \tilde{u}_ε se postupně zvyšuje.



Obrázek 5.11: Šíření chyby \tilde{u}_ε od u_ε .

Kapitola 6

Závěr

Cílem této práce bylo sledovat, za jakých předpokladů kompozitní materiál vykazuje vlastnosti homogenního materiálu. Byly vytvořeny úlohy, na jejichž řešení jsme sledovali, kdy k tomuto jevu dochází.

Zjistili jsme, že pokud se má kompozitní materiál jevit jako homogenní, je nutné, aby funkce popisující vlastnosti tohoto materiálu měla periodickou strukturu, a také, aby se na zkoumaném intervalu $\langle 0, 1 \rangle$ opakovala pokud možno co nejvíckrát. Ve všech zkoumaných případech jsme výsledné hodnoty porovnávali s řešením u_0 , o kterém jsme mohli říct, že se kompozit jeví jako homogenní materiál. Zjistili jsme, že pro hodnoty $\varepsilon \leq \frac{1}{250}$ (tedy $\varepsilon \leq 0,004$) relativní chyby (jak supremové normy, tak L^2 normy) byly menší než 1%.

Dále jsme zjišťovali, jak se mezi sebou liší řešení získána pomocí metody konečných prvků a pomocí asymptotické expanze. I přes approximaci funkce \tilde{u}_ε byla čísla velice blízká (relativní chyby v setinách procent). Což je uspokojivé, vzhledem k výpočetním nárokům jednotlivých metod mezi sebou. Metodou konečných prvků je nutné opakováně hledat řešení úlohy při změně ε , kdežto asymptotickou expanzí stačí vynásobit číslem ε již známý předpis.

Literatura

- [1] D. Cioranescu, P. Donato: *An Introduction to Homogenization*, Oxford Lecture Series in Mathematics and Its Applications, 17
- [2] J. Bouchala, *Rukou psané zápis y z přednášek*
- [3] T. Kozubek, T. Brzobohatý, V. Hapla, M. Jarošová, A. Markopoulos, *Lineární algebra s MatLabem*, Ostrava 2011, Skriptum VŠB-TU Ostrava a ZČU v Plzni.

Přílohy

Příloha na CD obsahuje tyto MatLabovské funkce:

bak_limitni.m - metoda vrací vektor délky N, reprezentující řešení u_0 a vykresluje do figure grafické řešení u_0

bak_MKP.m - metoda vrací vektor délky N, reprezentující řešení u_ε a vykresluje do figure grafické řešení u_ε

bak_epsilonove.m - metoda vrací vektor délky N, reprezentující řešení \tilde{u}_ε a vykresluje do figure grafické řešení \tilde{u}_ε

supNorma.m - metoda vrací relativní supremovou normu chyby porovnávaných vektorů stejné délky

L2norma.m - metoda vrací relativní L^2 normu chyby porovnávaných vektorů stejné délky